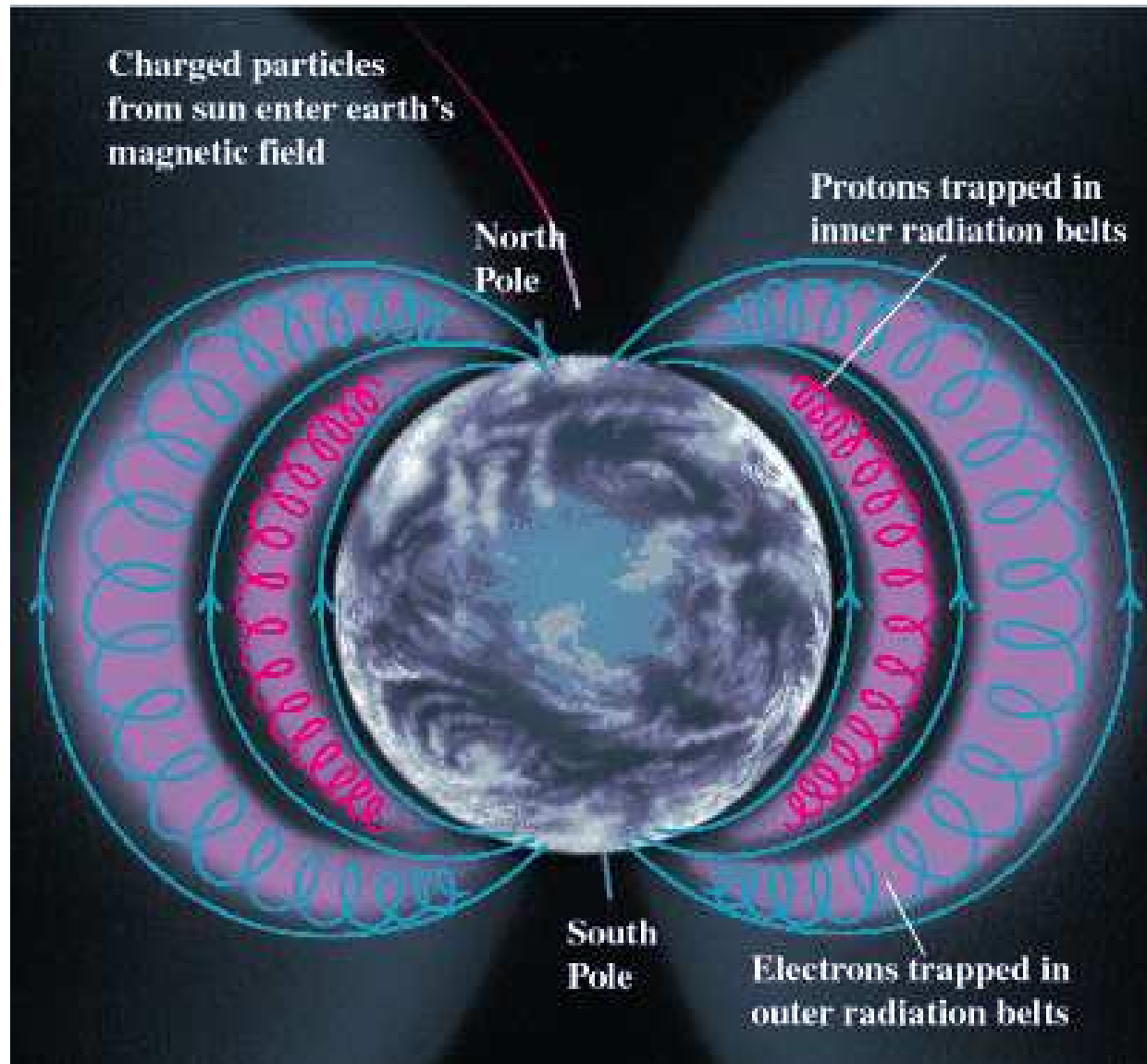


Einführung in die Plasmaphysik

Einzelteilchen-Bewegung



Wechselwirkung Teilchen - Felder

Kräfte auf Teilchen

Coulomb-Kraft: $F_C = q\vec{E}$

Lorentz-Kraft: $F_L = q\vec{v} \times \vec{B}$

Durch Teilchen erzeugte Felder

Poisson: $\nabla \cdot \vec{E} = \sigma/\epsilon_0$

Ampère: $\nabla \times \vec{B} = \mu_0 \vec{j} + (1/c^2)\partial\vec{E}/\partial t$

Weitere Feldgesetze

Faraday: $\nabla \times \vec{E} = -\partial\vec{B}/\partial t$ Induktion, EM-Wellen

$\nabla \cdot \vec{B} = 0$ Keine magnetischen Monopole

Einzelteilchenbewegung: Felder als unabhängig gegeben vorausgesetzt

... werden nicht durch das Testteilchen verändert

Inhalt

1. Teilchenbewegung im (statischen, homogenen) elektrischen Feld
2. Teilchenbewegung im (statischen, homogenen) magnetischen Feld
3. Teilchenbewegung im (statischen, homogenen) elektrischen und magnetischen Feld
4. Teilchenbewegung im (statischen) inhomogenen magnetischen Feld
5. Die Driftnäherung
6. Teilcheneinschluß im “Magnetischen Spiegel”

1. Elektrisches Feld: $E \neq 0, B = 0$

Bewegungsgleichung:

$$m \frac{d\vec{v}}{dt} = q \vec{E}, \quad \vec{E} = -\nabla\Phi$$

Integriere über Weg $x_1 \rightarrow x_2$

$$m \int_1^2 \frac{d\vec{v}}{dt} dx = q \int_1^2 \vec{E} dx$$

Linke Seite:

$$m \int_1^2 \frac{d\vec{v}}{dx} \frac{dx}{dt} dx = m \int_1^2 v dv = \frac{1}{2} m v_2^2 - \frac{1}{2} m v_1^2$$

Rechte Seite:

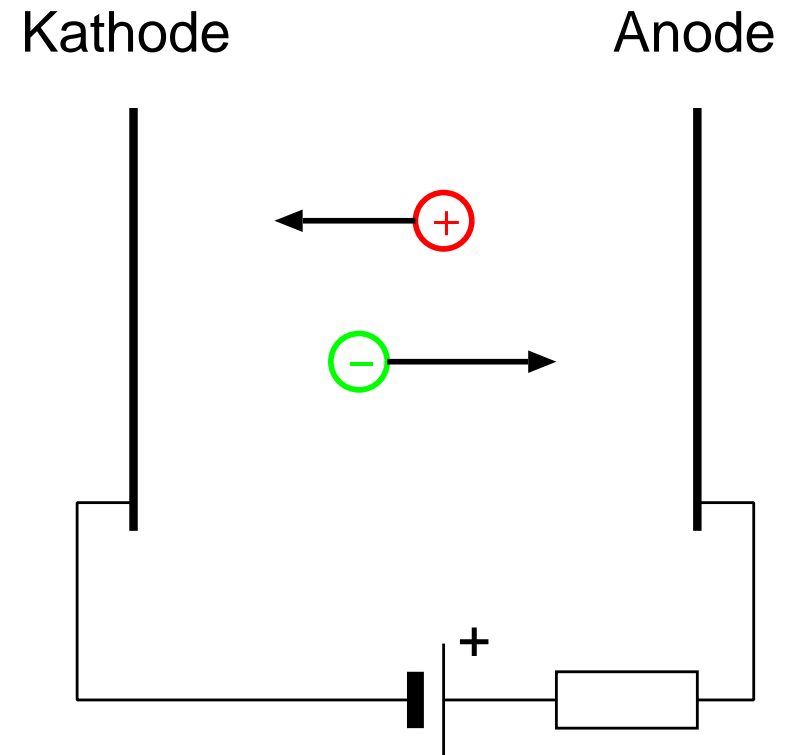
$$q\Phi_1 - q\Phi_2$$

Konstante der Bewegung: $W = E_{\text{pot}} + E_{\text{kin}}$

$$q\Phi_1 + \frac{1}{2} m v_1^2 = q\Phi_2 + \frac{1}{2} m v_2^2 = E_{\text{pot}} + E_{\text{kin}}$$

Z.B. Gasentladung:

Beschleunigung im festen \vec{E} -Feld.



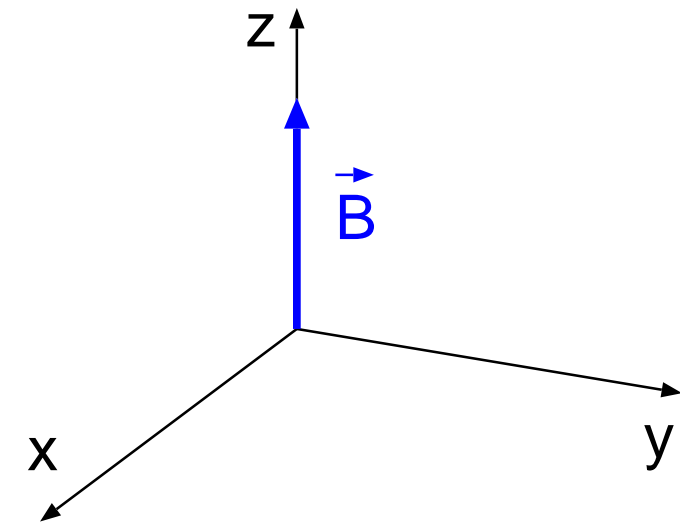
$E = 1 \text{ eV}$: Energie einer Elementarladung bei $U = 1 \text{ V}$.

$$1 \text{ eV} = 1.602 \times 10^{-19} \text{ J}$$

2. Statisches homogenes Magnetfeld, $E = 0, B \neq 0$

Bewegungsgleichung:

$$m \frac{d\vec{v}}{dt} = q \vec{v} \times \vec{B}$$



Sei $\vec{B} = (0, 0, B)$ in z -Richtung:

$$m\dot{v}_x = qBv_y$$

$$m\dot{v}_y = -qBv_x$$

$$m\dot{v}_z = 0$$

Ableitung Bewegungsgleichung:

$$\ddot{v}_x = \frac{qB}{m} \dot{v}_y = - \left(\frac{qB}{m} \right)^2 v_x$$

und

$$\ddot{v}_y = -\frac{qB}{m} \dot{v}_x = - \left(\frac{qB}{m} \right)^2 v_y$$

Schwingungs-Ansatz erfüllt diese DGL:

$$v_{x,y} = v_{\perp} \exp(i\omega_c t + i\theta_{x,y})$$

wobei v_{\perp} : Geschwindigkeit senkrecht zum \vec{B} -Feld

Einsetzen ergibt die **Zyklotronfrequenz**:

$$\omega_c = \frac{qB}{m}$$

(Die Phasen $\theta_{x,y}$ sind noch zu bestimmen)

Geladene Teilchen kreisen (“gyrieren”) um das Magnetfeld

Wähle x -Phase $\theta_x \equiv 0$:

$$v_x = v_{\perp} \exp(i\omega_c t)$$

$$v_y = \frac{m}{qB} \dot{v}_x = i v_x = v_{\perp} \exp\left(i\omega_c t + i\frac{\pi}{2}\right)$$

Integrieren für Teilchenposition:

$$x = \frac{1}{i\omega_c} v_x (+C) = \frac{v_{\perp}}{i\omega_c} \exp(i\omega_c t) = \frac{v_{\perp}}{\omega_c} \exp\left(i\omega_c t - i\frac{\pi}{2}\right)$$

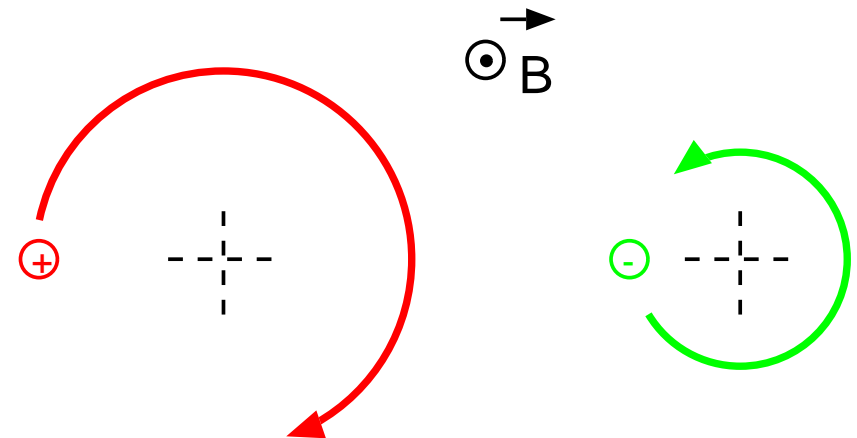
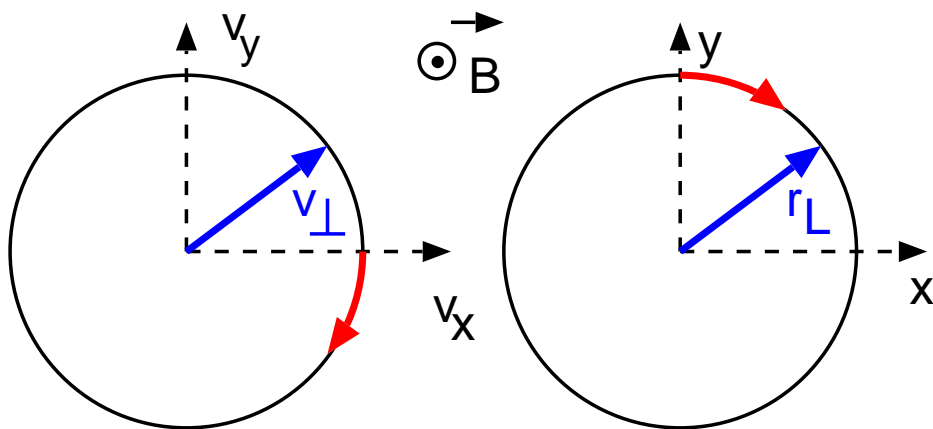
$$y = \frac{v_{\perp}}{\omega_c} \exp(i\omega_c t)$$

Gyroradius

(“Larmor”-Radius):

$$r_L \equiv \frac{v_{\perp}}{|\omega_c|} = \frac{mv_{\perp}}{|q|B}$$

- Ionen und Elektronen gyrieren in unterschiedlicher Richtung (links-/rechtshändig)
- Mit $W_i = W_e$: Ionen-Gyroradius grösser um $\sqrt{m_i/m_e}$



3. Statisches homogenes elektrisches und Magnet-Feld, $E \neq 0, B \neq 0$

Bewegungsgleichung:

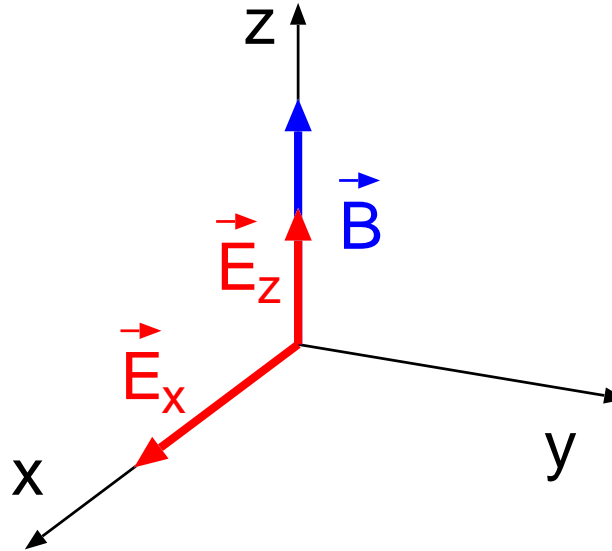
$$m \frac{d\vec{v}}{dt} = q \left(\vec{E} + \vec{v} \times \vec{B} \right)$$

O.B.d.A.: $\vec{B} \parallel z$, \vec{E} in x, z -Ebene

$$\dot{v}_z = \frac{q}{m} E_z$$

$$\dot{v}_x = \frac{q}{m} E_x + \omega_c v_y$$

$$\dot{v}_y = -\frac{q}{m} 0 - \omega_c v_x$$



Lösung:

$$v_x = v_{\perp} \exp(i\omega_c t), \quad v_y = i v_{\perp} \exp(i\omega_c t) - \frac{E_x}{B}$$

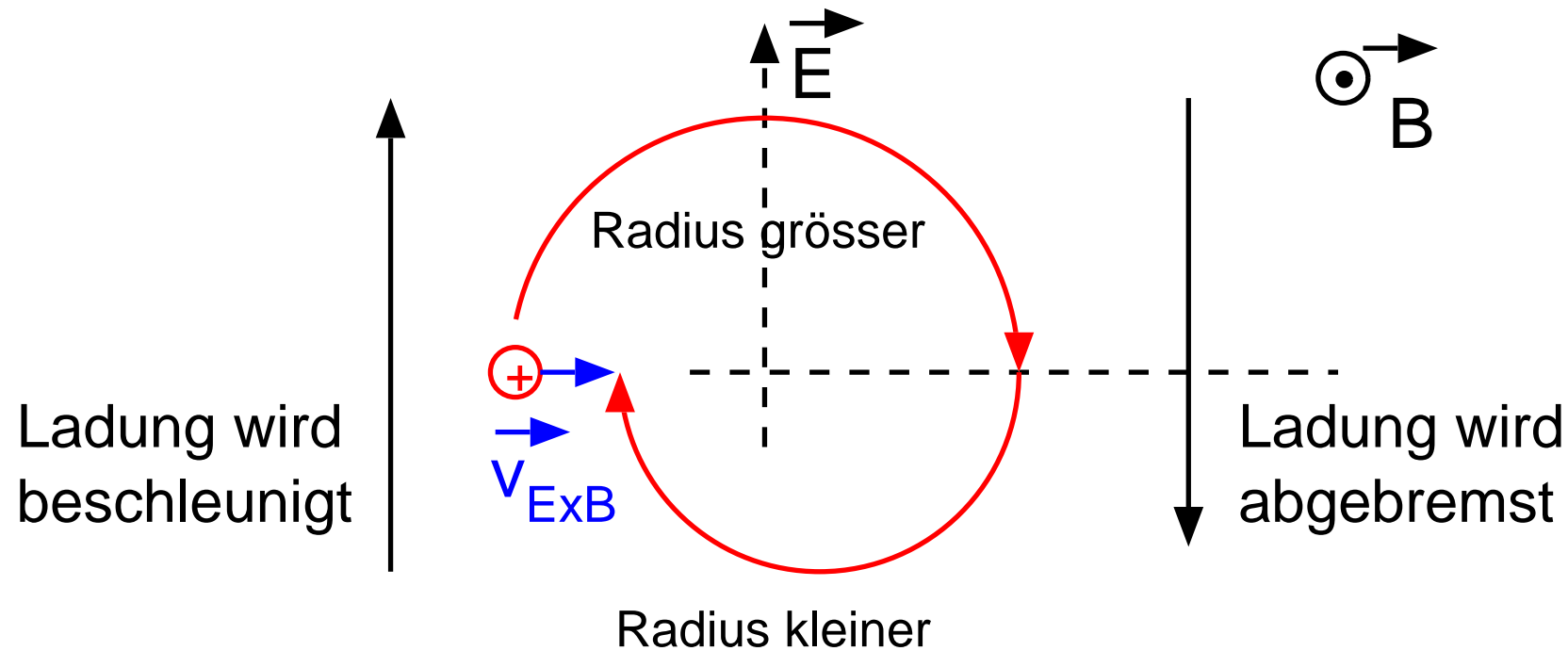
Gyrozentrum driftet in y -Richtung, senkrecht zu \vec{E} und \vec{B} !

Ursprung der $\vec{E} \times \vec{B}$ -Drift

Vektorschreibweise:

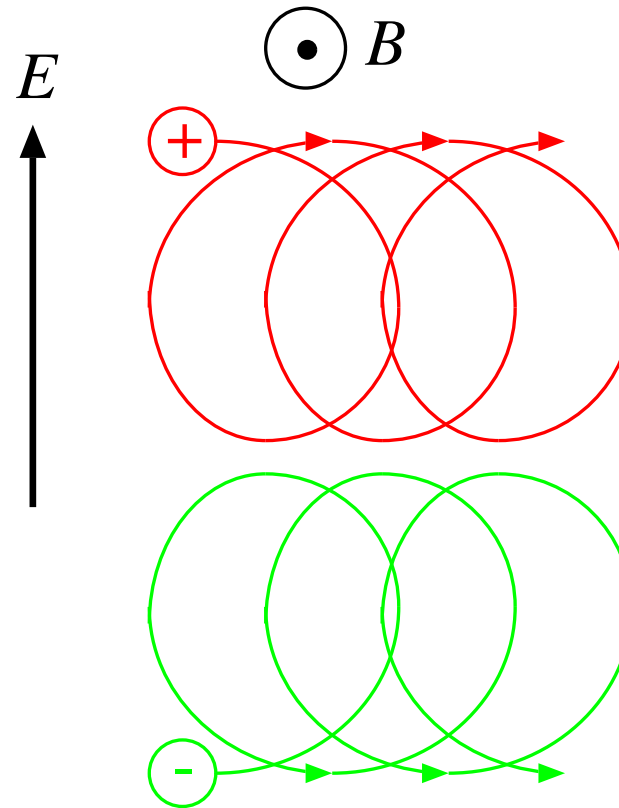
$$\vec{v}_{E \times B} = \frac{\vec{E} \times \vec{B}}{B^2}$$

Anschauliche Erklärung: Durch Bewegung im elektrostatischen Potenzial ändert sich der Gyroradius.



Gleiche Richtung der $\vec{E} \times \vec{B}$ Drift für Elektronen und Ionen

Vorzeichenwechsel in
Gyrationsrichtung und
Richtung der Coulomb-Kraft
(Bahn-Beschleunigung)
heben sich auf



Verallgemeinerung: “Gravitations”-drift

beliebiges konservatives Kraftfeld:

$$q\vec{E} \rightarrow \vec{F} \quad \vec{v}_F = \frac{1}{q} \frac{\vec{F} \times \vec{B}}{B^2}$$

Beispiel: Gravitation $\vec{F} = m\vec{g}$

$$\vec{v}_g = \frac{m}{q} \frac{\vec{g} \times \vec{B}}{B^2}$$

“Echte” Gravitationsdrift im allgemeinen vernachlässigbar gegen andere Driften (z.B. $\vec{B} \times \nabla B$ -Drift, s.u.).

4. Driften im inhomogenen Magnetfeld

- Krümmungsdrift
- ∇B -Drift (“Grad-B” Drift)

Literaturempfehlung:

R J Goldston, P H Rutherford: Introduction to Plasma Physics, ISBN 0-7503-0325-5

Krümmungsdrift

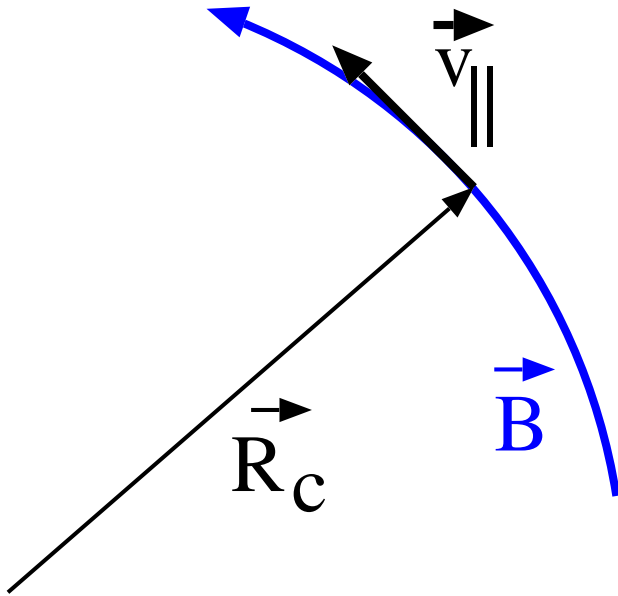
Zentrifugalkraft:

$$\vec{F}_R = mv_{\parallel}^2 \frac{\vec{R}_c}{R_c^2}$$

(\vec{R}_c : lokaler Krümmungsradius, $\vec{R}_c \perp \vec{B}$)

Einsetzen in “Gravitationsdrift”:

$$\vec{v}_R = \frac{mv_{\parallel}^2}{q} \frac{\vec{R}_c \times \vec{B}}{R_c^2 B^2} = \frac{2W_{\parallel}}{q} \frac{\vec{R}_c \times \vec{B}}{R_c^2 B^2}$$



Spezialfall: Zylindersymmetrisches \vec{B} -Feld im Vakuum ($j = 0$)

$$\Rightarrow -\nabla \vec{B} = (B/R_c^2) \vec{R}_c \quad (\text{ohne Beweis})$$

$$\vec{v}_R = \frac{mv_{\parallel}^2}{q} \frac{\vec{B} \times \nabla B}{B^3} = \frac{v_{\parallel}^2}{\omega_c} \frac{\vec{B} \times \nabla B}{B^2}$$

∇B - (Grad B -) Drift

Bisherige Driften: Variation von v_{\perp} in der Gyrationperiode.

Ursache der ∇B -Drift: Variation von B .

Taylor-Entwicklung von \vec{B} (bis einschl. 1. Ordnung) um Gyrozentrum ($\vec{r} = 0$)

$$\vec{B}_0 \equiv \vec{B}(\vec{r} = 0)$$

$$\vec{B} = \vec{B}_0 + (\vec{r} \cdot \nabla) \vec{B}_0$$

Z.B. kartesische Koordinaten, $\vec{B}_0 = (0, 0, B_0)$:

$$B_z = B_0 + \left(x \frac{\partial}{\partial x} + y \frac{\partial}{\partial y} + z \frac{\partial}{\partial z} \right) B_0$$

Bewegungsgleichung:

$$m \frac{d\vec{v}}{dt} = q \left(\vec{v} \times \vec{B}_0 \right) + q \left[\vec{v} \times (\vec{r} \cdot \nabla) \vec{B}_0 \right]$$

5. Die Driftnäherung

Geschwindigkeit $\vec{v} = \vec{v}_0 + \vec{v}_1$

\vec{v}_0 löst BewGl 0. Ordnung (Gyrationsbewegung):

$$m \frac{d\vec{v}_0}{dt} = q \left(\vec{v}_0 \times \vec{B}_0 \right)$$

\vec{v}_1 löst BewGl 1. Ordnung (Driftbewegung des Gyrozentrums):

$$\begin{aligned} m \frac{d\vec{v}_1}{dt} &= q \left(\vec{v}_1 \times \vec{B}_0 \right) + q \left[(\vec{v}_0 + \vec{v}_1) \times (\vec{r} \cdot \nabla) \vec{B}_0 \right] \\ &\approx q \left(\vec{v}_1 \times \vec{B}_0 \right) + q \left[\vec{v}_0 \times (\vec{r} \cdot \nabla) \vec{B}_0 \right] \end{aligned}$$

Driftnäherung:

- $v_1 \ll v_0$
- Mittelung über Gyrozyklus
- Betrachte $\omega \ll \omega_c \Rightarrow \dot{\vec{v}}_1 \rightarrow 0 \Rightarrow$ Bew-Gl. 1. Ordnung nach \vec{v}_1 auflösen

Anwendung der Driftnäherung auf die ∇B -Drift

Kreuzprodukt: $\times \vec{B}_0 / B^2 \Rightarrow (\vec{v}_1 \times \vec{B}_0) \times \vec{B}_0 / B_0^2 = -\vec{v}_1$

Mittelung über Gyrozyklus:

$$\vec{v}_1 = \frac{1}{B_0^2} \left\langle \left(\vec{v}_0 \times (\vec{r} \cdot \nabla) \vec{B}_0 \right) \times \vec{B}_0 \right\rangle$$

$\vec{B}_0 = (0, 0, B_0)$ variiere nur in x -Richtung

$$v_{1,x} = -\frac{1}{B_0} \left\langle v_{0,x} x \frac{dB_0}{dx} \right\rangle, \quad v_{1,y} = -\frac{1}{B_0} \left\langle v_{0,y} x \frac{dB_0}{dx} \right\rangle$$

Gyrobewegung einsetzen:

$$v_{1,x} = -\frac{v_{\perp} r_L}{B_0} \langle \cos(\omega_c t) \sin(\omega_c t) \rangle \frac{dB_0}{dx} = 0$$

$$v_{1,y} = \frac{v_{\perp} r_L}{B_0} \langle \sin^2(\omega_c t) \rangle \frac{dB_0}{dx} = \frac{v_{\perp} r_L}{2B_0} \frac{dB_0}{dx}$$

Zusammenfassung: ∇B - und Krümmungsdrift

∇B -Drift (Vektorschreibweise):

$$\vec{v}_{\nabla B} = \frac{mv_{\perp}^2}{2qB^3} \left(\vec{B} \times \nabla B \right)$$

Krümmungsdrift:

$$\vec{v}_R = \frac{mv_{\parallel}^2}{qR_c^2 B^2} \left(\vec{R}_c \times \vec{B} \right) = \frac{mv_{\parallel}^2}{qB^4} \left(\vec{B} \times (\vec{B} \cdot \nabla) \vec{B} \right)$$

dto., für zylindersymmetrisches \vec{B} -Feld im Vakuum ($j = 0$):

$$\vec{v}_R = \frac{mv_{\parallel}^2}{qB^3} \left(\vec{B} \times \nabla B \right)$$

Driftstrom

$\vec{E} \times \vec{B}$ -Drift:

Selbe Richtung für Elektronen und Ionen

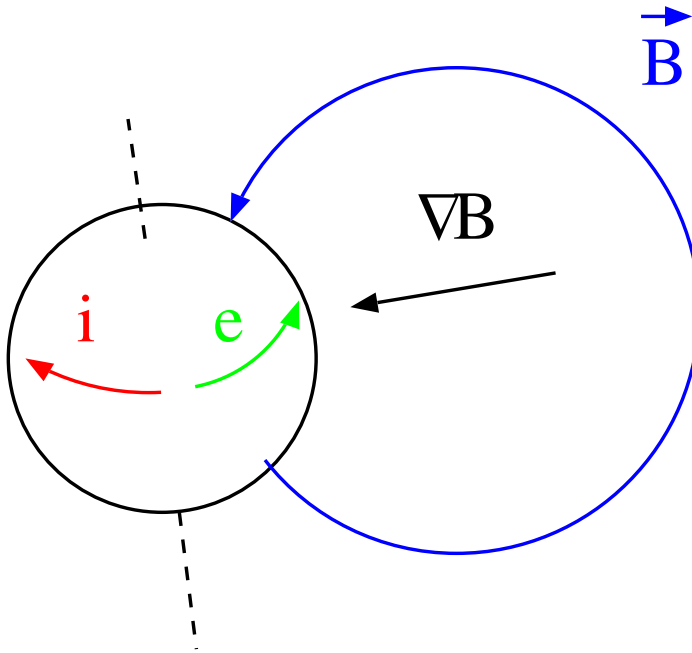
→ kein elektrischer Strom.

∇B - und Krümmungsdrift:

Unterschiedliche Richtung

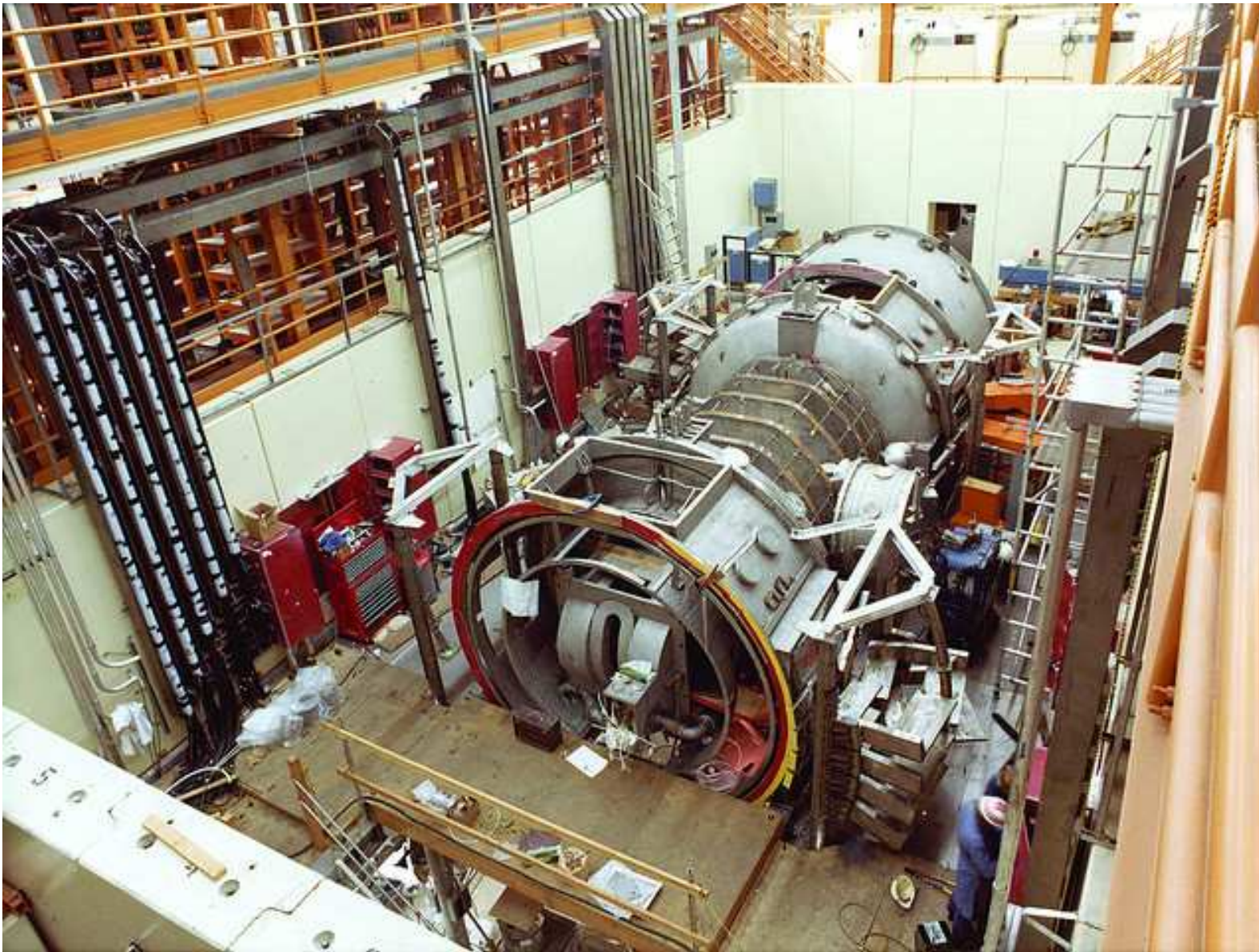
→ elektrischer Strom.

Im Erdmagnetfeld: Ringstrom



$$\vec{j} = n_e e (\vec{v}_i - \vec{v}_e) = n_e \left[\frac{1}{2} (m_i v_{\perp,i}^2 - m_e v_{\perp,e}^2) + (m_i v_{\parallel,i}^2 - m_e v_{\parallel,e}^2) \right] \left(\frac{\vec{B} \times \nabla B}{B^3} \right)$$

6. Magnetischer Spiegel

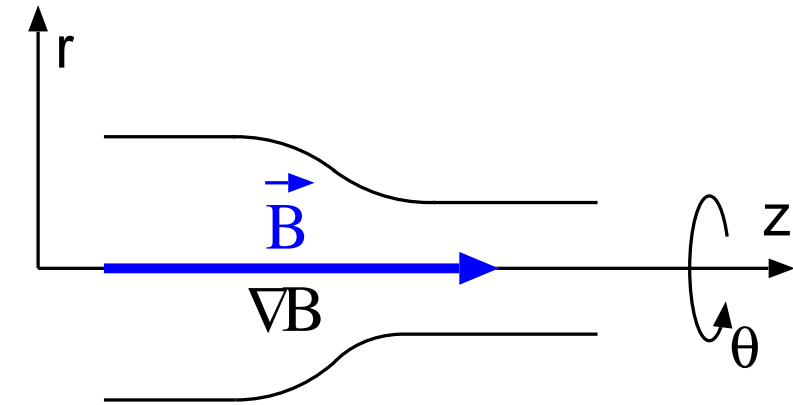


Tandem Mirror Experiment (TMX), LLNL (1979)

Magnetischer Spiegel

Zylindersymmetrie, $\vec{B} = (B_r, 0, B_z)$.

Gradient in z -Richtung: $\partial B_z / \partial z > 0$



Kraft auf Teilchen: $\vec{F} = q\vec{v} \times \vec{B}$

$$F_r = q(\underbrace{v_\theta B_z}_{(1)} - \underbrace{v_z B_\theta}_{=0})$$

$$F_\theta = q(-\underbrace{v_r B_z}_{(2)} + \underbrace{v_z B_r}_{(3)})$$

$$F_z = q(\underbrace{v_r B_\theta}_{=0} + \underbrace{v_\theta B_r}_{(1)})$$

(1): Gyrationbewegung

(2): Änderung des Gyroradius

(3): Parallelbewegung

Berechnung von B_r (Ann. $\partial B_z / \partial z$ schwach veränderlich in r):

$$\nabla \cdot \vec{B} = 0 = \frac{1}{r} \frac{\partial}{\partial r} (r B_r) + \underbrace{\frac{1}{r} \frac{\partial B_\theta}{\partial r}}_{=0} + \frac{\partial B_z}{\partial z} \Rightarrow r B_r = - \int_0^r r \frac{\partial B_z}{\partial z} dr \approx - \frac{1}{2} r^2 \left[\frac{\partial B_z}{\partial z} \right]_{r=0}$$

Magnetisches Moment im Spiegel

Betrachte gyrierendes Teilchen (Gyrozentrum auf der Achse, $r = r_L$).

Kraft parallel B :

$$F_z = -\frac{1}{2} q v_{\perp} r_L \frac{\partial B_z}{\partial z} = -\frac{1}{2} q \frac{v_{\perp}^2}{\omega_c} \frac{\partial B_z}{\partial z} = -q \underbrace{\frac{1}{2} \frac{m v_{\perp}^2}{B}}_{\equiv \mu} \frac{\partial B_z}{\partial z}$$

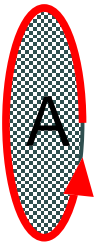
Magnetisches Moment:

$$\mu = \frac{m v_{\perp}^2}{2B} \Rightarrow \vec{F}_{\parallel} = -\mu \nabla_{\parallel} B$$

Andere (bekannte) Definition von μ :

$$\mu = I \cdot A, \quad I = q \frac{\omega_c}{2\pi}, \quad A = \pi r_L^2 = \frac{\pi v_{\perp}^2}{\omega_c^2}$$

$$\Rightarrow \mu = I \cdot A = \frac{q v_{\perp}^2}{2\omega_c} = \frac{m v_{\perp}^2}{2B}$$



I

Erhaltung des Magnetischen Moments

Mittelung über Gyrobewegung, B jeweils am Ort des Gyrozentrums

Bewegungsgleichung $\parallel B$:

$$m \frac{dv_{\parallel}}{dt} = -\mu \frac{\partial B}{\partial s}$$

Mit $v_{\parallel} = \partial s / \partial t$:

$$mv_{\parallel} \frac{dv_{\parallel}}{dt} = \frac{d}{dt} \left(\frac{1}{2} m v_{\parallel}^2 \right) = -\mu \frac{\partial B}{\partial s} \frac{\partial s}{\partial t} = -\mu \frac{dB}{dt}$$

Energieerhaltung:

$$\frac{d}{dt} \left(\frac{1}{2} m v_{\parallel}^2 + \frac{1}{2} m v_{\perp}^2 \right) = -\mu \frac{dB}{dt} + \frac{d}{dt} (\mu B) = B \frac{d\mu}{dt} = 0$$

$$\Rightarrow \mu = \text{const.}$$

Verlustkegel

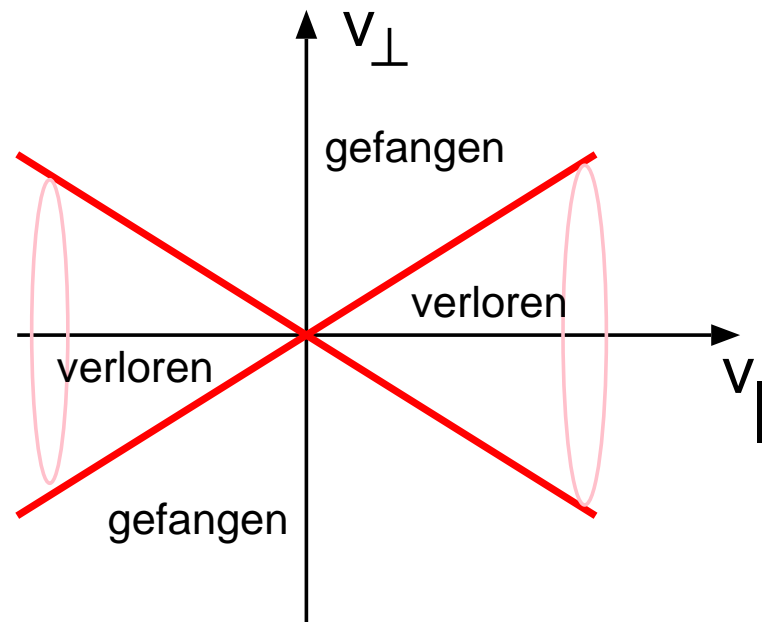
Mit steigendem B -Feld steigt W_{\perp} . Bei $W_{\parallel} = 0$ kehrt Parallelbewegung um \rightarrow **“Gefangene” Teilchen**

Teilchenbahn von Startpunkt (0) bis Umkehrpunkt (m)

$$\frac{1}{2}mv_{\perp,m}^2 = \frac{1}{2}mv_{\perp,0}^2 + \frac{1}{2}mv_{\parallel,0}^2$$

$$\mu B_m = \frac{1}{2}mv_{\parallel,0}^2 + \mu B_0$$

$$v_{\parallel,0}^2 = \frac{2\mu(B_m - B_0)}{m} = v_{\perp,0}^2 \frac{B_m - B_0}{B_0}$$

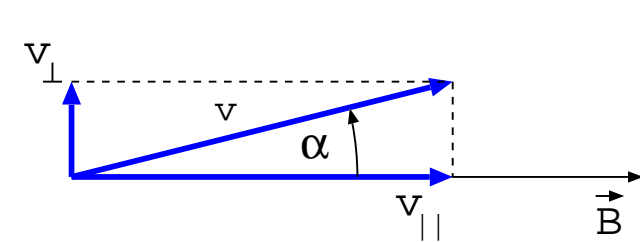


Teilchen mit $v_{\parallel}/v_{\perp} > \sqrt{(B_{\max} - B_0)/B_0}$ können umlaufen (sind “verloren”), die anderen werden reflektiert (“im Spiegel gefangen”).

Pitch-Winkel

Winkel zwischen Geschwindigkeitskomponenten senkrecht und parallel zum B -Feld.

$$\alpha = 0^\circ : \vec{v} \parallel \vec{B}, \quad \alpha = 90^\circ : \vec{v} \perp \vec{B}$$



$$\tan \alpha = \frac{v_{\perp}}{v_{\parallel}}, \quad \sin \alpha = \frac{v_{\perp}}{v}$$

Magnetisches Moment:

$$\mu = \frac{mv_{\perp}^2}{2B} = \frac{mv^2}{2} \frac{\sin^2 \alpha}{B}$$

Magnetischer Spiegel: Am Umkehrpunkt ($B = B_m$), $\alpha = 90^\circ$

$$\sin \alpha = \left(\frac{B}{B_m} \right)^{1/2}$$

Adiabatische Invarianten

Das magnetische Moment μ ist eine “ungefähre” Erhaltungsgrösse:

- nur bei $E = 0$
- nur für Bewegungen langsamer als die Gyrationbewegung
- nur wenn Feld-Gradientenlänge gross gegen Gyroradius (Driftnäherung)

Solche Erhaltungsgrössen heissen auch “adiabatische Invarianten”.

Weitere adiabatische Invarianten:

- Longitudinale Invariante $J = \oint m v_{\parallel} ds$
 - Bewegung entlang des Feldes, gemittelt über Spiegelreflektionen
- Drift-Invariante $\Phi = \oint v_d r d\psi$
 - Driftbewegung, gemittelt über azimuthale Umläufe

Zusammenfassung (1)

- Wir betrachten Teilchenbewegung im elektrischen und magnetischen Feld (unter Vernachlässigung der Feldänderung durch die geladenen Teilchen)
- Elektronen und Ionen gyrieren im Magnetfeld mit der Winkelgeschwindigkeit (“Zyklotronfrequenz”) $\omega_c = qB/m$ (in unterschiedlichem Drehsinn).
(Larmour-) Radius der Bewegung: $r_L = v_{\perp}/\omega_c$
- Im zusätzlichen konservativen Kraftfeld \vec{F} (z.B. \vec{E} -Feld) tritt eine Drift der Gyrozentren senkrecht zu \vec{B} und \vec{F} auf.
- Krümmung des Magnetfeldes und Gradient der magnetischen Flußdichte führen zu einer Drift senkrecht zu \vec{R}_c bzw. ∇B und \vec{B} .
- Die Driften senkrecht B sind i.a. unterschiedlich gerichtet für Elektronen und Ionen, d.h. sie führen zu einem Driftstrom.
Ausnahme: $\vec{E} \times \vec{B}$ -Drift.

Zusammenfassung (2)

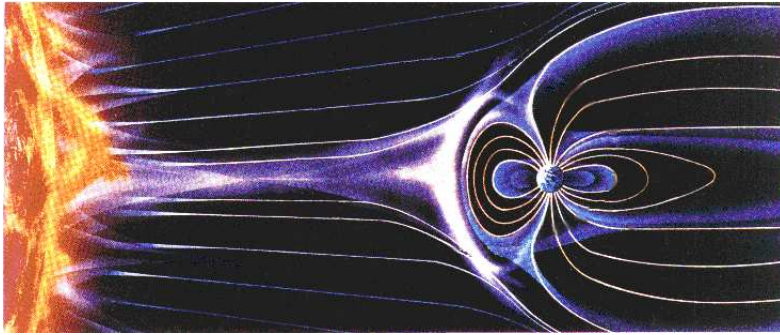
- Für kleine $r_L/(B/\nabla B)$ und $E = 0$ bleibt das magnetische Moment $\mu = W_{\perp}/B$ erhalten (“adiabatische Invariante”)
- Im inhomogenen Magnetfeld (“magnetischer Spiegel”) kehrt sich die Parallelbewegung um, falls ein Teilchen nicht über genügend Energie in der Parallelbewegung verfügt, um das magnetische Moment aufrechtzuerhalten.

Kritisches Verhältnis von Parallel- zu Senkrechtgeschwindigkeit:

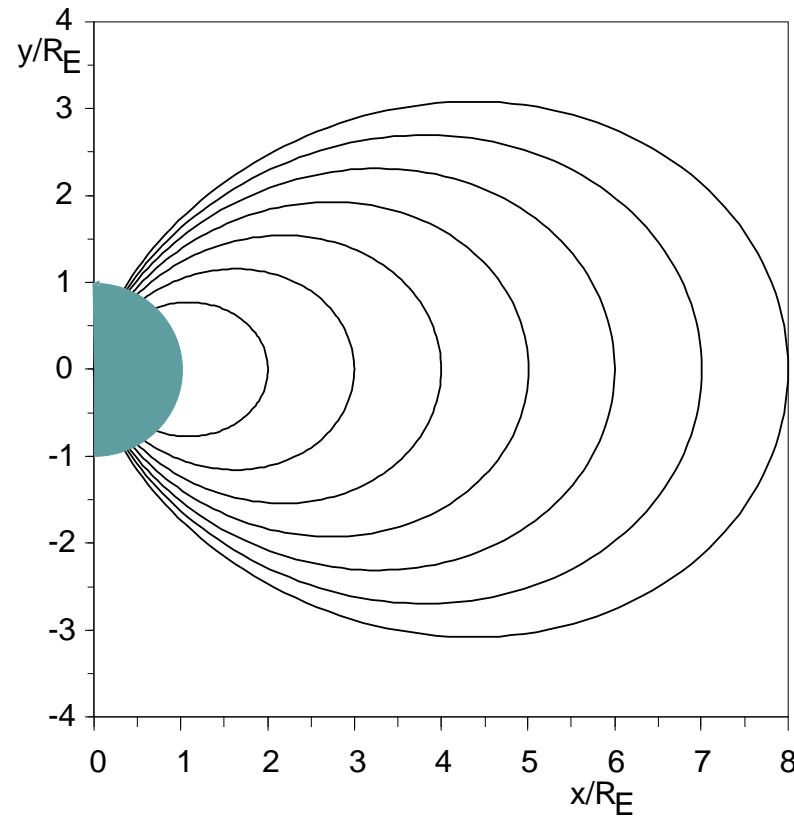
$$v_{\parallel}/v_{\perp} = \sqrt{(B_m - B_0)/B_0}$$

- Der *pitch*- Winkel $\alpha = \tan^{-1}(v_{\perp}/v_{\parallel})$ bestimmt das Verhältnis aus magnetischem Feld am Start- und Umkehrpunkt: $\sin^2 \alpha_1 = B_1/B_m$

Teilchenbewegung im Erdmagnetfeld



Magnetosphäre:
komplizierte Überlagerung aus
Erdmagnetfeld (Dynamo!)
und Sonnenwind.
Näherung: **Dipolfeld**



Dipolfeld

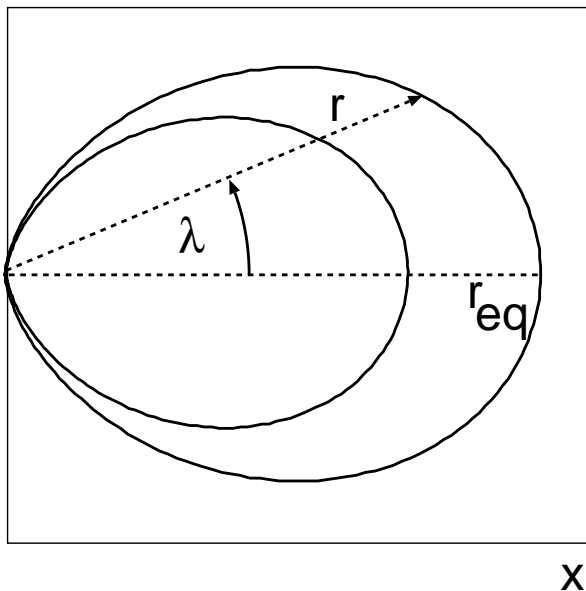
Vereinfachtes Modell für Erdmagnetfeld

(bis ca. 6 Erdradii $R_E = 6371$ km) Dipolmoment der Erde:

$$M_e = 8.05 \times 10^{22} \text{ Am}^2$$

$$\vec{B} = \frac{\mu_0 M_e}{4\pi r^3} \left(-2 \sin \lambda \hat{e}_r + \cos \lambda \hat{e}_\lambda \right)$$

$$B = \frac{\mu_0 M_e}{4\pi r^3} (1 + 3 \sin^2 \lambda)^{1/2}$$



Gleichung für Feldlinien

Bedingung: Feldlinie tangential zu Wegelement entlang der Feldlinie

$$\frac{dr}{r d\lambda} = \frac{B_r}{B_\lambda}$$

Dipolfeld einsetzen:

$$\frac{dr}{r} = -\frac{2 \sin \lambda}{\cos \lambda} d\lambda = \frac{2 d(\cos \lambda)}{\cos \lambda}$$

Integration (Anfangsbedingung $r(\lambda = 0) = r_{\text{eq}}$):

$$r = r_{\text{eq}} \cos^2 \lambda$$

Längenelement entlang Feldlinie: $(ds)^2 = (dr)^2 + r^2 (d\lambda)^2$

$$\frac{ds}{d\lambda} = r_{\text{eq}} \cos \lambda (1 + 3 \sin^2 \lambda)^{1/2}$$

L -Wert einer Feldlinie

L -Wert (L shell): $L \equiv r_{\text{eq}}/R_E$

Benutze:

$B_E = \mu_0 M_E / (4\pi R_e^3)$ (Feld am Äquator bei $r = r_E$)

und $r = r_{\text{eq}} \cos^2 \lambda$ (s.o.)

$$\Rightarrow B(\lambda, L) = \frac{B_E}{L^3} \frac{(1 + 3 \sin^2 \lambda)^{1/2}}{\cos^6 \lambda}$$

Breite λ_E , bei der Feldlinie Erdoberfläche schneidet:

$$\cos^2 \lambda_E = \frac{r_E}{r_{\text{eq}}} = \frac{1}{L}$$

Spiegel- (*bounce*-) Bewegung

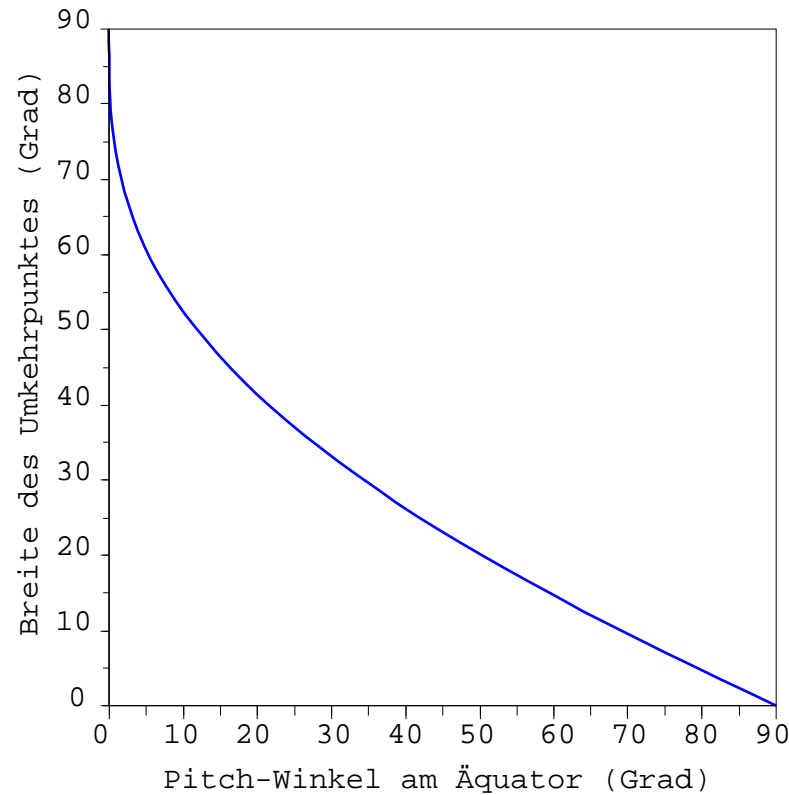
Auf welche Breite kommt ein Teilchen, das am Äquator startet ?

Kritischer Pitch-Winkel
(in der Äquatorialebene)
für gefangene Teilchen

$$\sin^2 \alpha_{\text{eq}} = \frac{B_{\text{eq}}}{B_m}$$

$$= \frac{\cos^6 \lambda_m}{(1 + 3 \sin^2 \lambda_m)^{1/2}}$$

Unabhängig von L !



Bounce-Periode

Wie lange dauert ein voller Umlauf eines gefangenen Teilchens?

$4 \times$ Äquatorialebene (eq) - nördlicher/südlicher Spiegelpunkt (m)

$$\tau_b = 4 \int_{eq}^m \frac{ds}{v_{\parallel}} = 4 \int_0^{\lambda_m} \frac{ds}{d\lambda} \frac{d}{\lambda v_{\parallel}}$$

Wiederum: $v_{\parallel} = v [1 - (B/B_{eq}) \sin^2 \alpha_{eq}]^{1/2}$

$$\tau_b = 4 \frac{r_{eq}}{v} \int_0^{\lambda_m} \cos \lambda \left(1 + 3 \sin^2 \lambda\right)^{1/2} \left[1 - \sin^2 \alpha_{eq} \frac{(1 + 3 \sin^2 \lambda)^{1/2}}{\cos^6 \lambda}\right]^{-1/2} d\lambda$$

Numerische Lösung des Integrals

$$\tau_b \approx 4 \frac{r_{eq}}{v} (1.30 - 0.56 \sin \alpha_{eq}) \approx L \underbrace{\frac{R_E}{(W/m)^{1/2}}}_{(1)} \underbrace{(3.7 - 1.6 \sin \alpha_{eq})}_{(2)}$$

Beispiel: $W = 1 \text{ keV}$, $\alpha_{eq} = 30^\circ \rightarrow (2) = 2.9$

Elektronen (1) $\approx 0.4 \text{ s}$, Protonen (1) $\approx 20.5 \text{ s}$

Verlustkegel

Wie groß ist der *pitch*-Winkelbereich, in dem Teilchen die Erdoberfläche erreichen können?

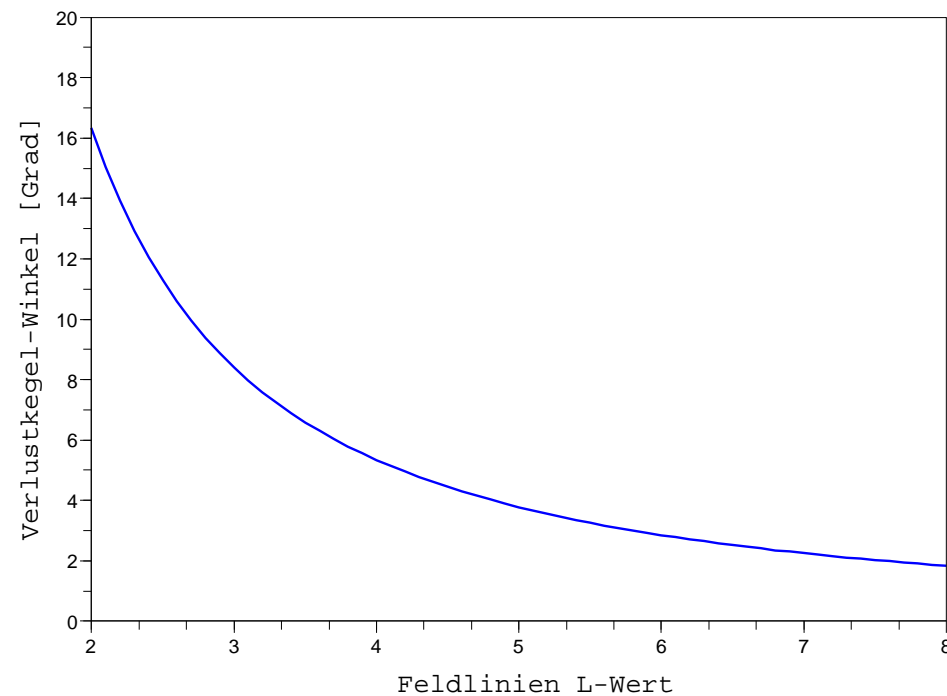
(Tatsächlich rekombinieren sie schon durch Stöße in ≈ 100 km Höhe).

$$\sin^2 \alpha_l = \frac{B_{eq}}{B_m}$$

$$= \frac{\cos^6 \lambda_m}{(1 + 3 \sin^2 \lambda_m)^{1/2}}$$

Mit $\cos^2 \lambda_E = L^{-1}$:

$$\sin^2 \alpha_l = (4L^6 - 3L^5)^{-1/2}$$



Driftbewegung

Driftwinkeländerung während einer *bounce*-Periode:

$$\Delta\Psi = 4 \int_0^{\lambda_m} \frac{v_d}{r \cos \hat{\lambda}} \frac{ds}{v_{\parallel}}$$

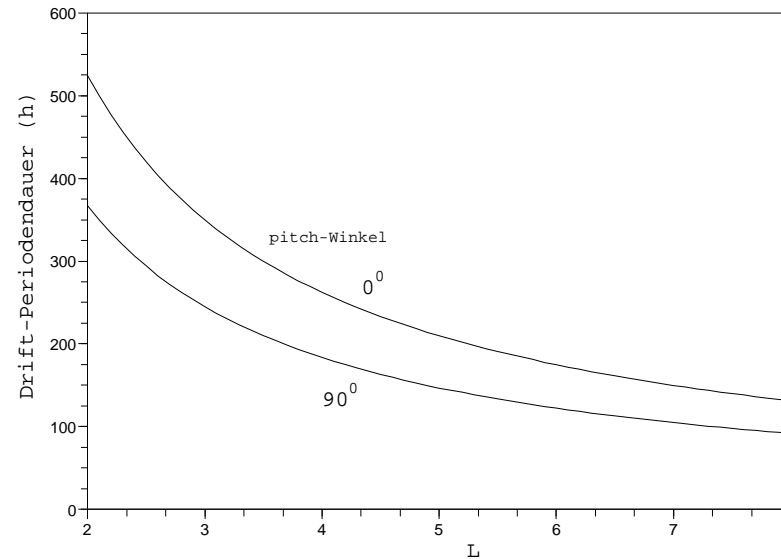
Gemittelte Winkelgeschwindigkeit:

$$2\pi \langle \Omega_d \rangle = \Delta\Psi / \tau_b$$

Driftperiode (Näherungslösung):

$$\langle \tau_d \rangle = \langle \Omega_d \rangle^{-1} = \frac{\pi q B_E R_E^2}{2LW} (0.35 + 0.15 \sin \alpha_{eq})^{-1}$$

Beispiel: $W = 1$ keV, $\langle \tau_d \rangle \approx$ Tage



Zusammenfassung (3)

- Das Erdmagnetfeld lässt sich (für kleine Radian $< 6R_E$) durch ein Dipolfeld annähern.
- Der Feldlinienradius wird durch $L = R_{eq}/R_E$ parametrisiert.
- Die Periodendauer der Bewegung im magnetischen Spiegel (Sekunden für Elektronen, Sekunden bis Minuten für Ionen) ist proportional zu L und hängt schwach von α ab.
Die geographische Breite des Umkehrpunkts hängt nur von α und nicht von L ab.
Der kritische Wert α für Teilchenverlust nahe der Erdoberfläche sinkt mit steigendem L .
- Durch das inhomogene Feld ergibt sich eine Driftbewegung (Westwärts für Ionen, ostwärts für Elektronen) mit Periodendauern von Tagen.
- Zur Behandlung des Driftstromes müssen weitere Effekte (elektrische Felder, endliche Leitfähigkeit) berücksichtigt werden.